

# 人干扰素- $\gamma$ 基因工程大肠杆菌的培养 及其产物的纯化与复性\*

张耀东<sup>1</sup> 张丽华<sup>2</sup> 耿信笃<sup>2</sup>

<sup>1</sup>(陕西师范大学化学系 西安 710062)

<sup>2</sup>(西北大学现代分离科学研究所 西安 710069)

关键词  $\gamma$ -干扰素, 大肠杆菌, 高效表达, 纯化, 复性

分类号 Q51 文献标识码 A 文章编号 1000-3061(1999)02-0240-43

$\gamma$ -干扰素具有较强的免疫调节、细胞抑制功能和抗病毒活性功能, 在临幊上有一定的应用价值。由于天然  $\gamma$ -干扰素来源有限, 产量甚微, 因此有关  $\gamma$ -干扰素的基因工程技术研究<sup>[1,2]</sup>十分活跃, 并带动了重组人干扰素- $\gamma$ (rIFN- $\gamma$ )下游技术的研究<sup>[3]</sup>。优化发酵工艺以获得稳定的高质量发酵产物, 可以降低下游技术中分离纯化的成本和难度。但是, 不能得到稳定的高效表达产物是基因工程中普遍存在的问题<sup>[4]</sup>, 除表达系统本身因素外, 还涉及诸多其它因素。通过对 pBV220IFN- $\gamma$ DH5 $\alpha$  工程菌高效表达 rIFN- $\gamma$  因素的研究, 并选择合适条件分离包含体, 获得了 rIFN- $\gamma$  含量和活性都很高的粗提液。采用高效疏水色谱法(HPHIC)对 rIFN- $\gamma$  进行一步同时纯化与复性, 方法不仅简单、快速, 而且避免了采用大量溶剂稀释复性和通过透析除去变性剂的麻烦。

## 1 材料和方法

### 1.1 菌种

pBV220IFN- $\gamma$ DH5 $\alpha$  基因工程大肠杆菌由中国预防医科院病毒所张智清教授、侯云德院士提供。

### 1.2 培养基

蛋白胨 20 g, 酵母提取物 10g, 氯化钠 8g, 用蒸馏水溶解成 2000mL 溶液, pH 为 7.4, 湿热灭菌 15min, 即得 LB 培养液(发酵时加入一定量的氨苄青霉素)。若用固体培养基, 则再加入 2% 琼脂。

### 1.3 rIFN- $\gamma$ 的提取及质量鉴定

将收集的菌体清洗后进行冷冻和超声破碎, 再用 2.0 mol/L 脲溶液清洗包含体以除去部分杂质蛋白, 然后用 7.0 mol/L 盐酸胍提取<sup>[5]</sup>。提取液中蛋白质的含量测定按照 Lowry<sup>[6]</sup> 法进行, rIFN- $\gamma$  的含量按照 Laemmli<sup>[7]</sup> SDS-PAGE 电泳法测定, rIFN- $\gamma$  的活性效价按照细胞病变抑制法<sup>[8]</sup> 进行测定。

### 1.4 rIFN- $\gamma$ 的纯化

用自己合成的以硅胶为基质的疏水色谱填料, 匀浆法填充半制备色谱柱(150mm × 7.9mm i · d)。流动相: A 液为(2.5mol/L)(NH<sub>4</sub>)<sub>2</sub>SO<sub>4</sub> + (20mmol/L)KH<sub>2</sub>PO<sub>4</sub>, pH = 7.0, B 液为 20 mmol/L KH<sub>2</sub>PO<sub>4</sub>, pH = 7.0。流速 1 mL/min, 室温, 非线性梯度洗脱, A 液和 B 液的比例由系统控制器控制, 检测波长为 280nm。

## 2 结果

### 2.1 大肠杆菌的生长状态

\* 国家高技术研究发展计划项目(No. 863-102-13-05)。

收稿日期: 1997-12-15, 修回日期: 1998-12-31。

用下述方法考察大肠杆菌(*E. coli*)生长状态的稳定性:将在平皿上培养的菌种接种于装有5 mL LB培养液的25 mL试管中,在30℃条件下培养9 h。然后按照1:40的稀释比转入到装有120 mL LB培养液的250 mL锥形瓶中,在30℃条件下培养14 h。接着按1:40的稀释比扩大培养(30℃),每隔一定时间测OD<sub>600</sub>值,以OD<sub>600</sub>值为纵坐标,时间t为横坐标作*E. coli*生长曲线(Fig. 1a)。在完全相同的发酵条件下,*E. coli*生长曲线不完全相同,说明*E. coli*生长状态是不稳定的。*E. coli*在不同的培养时间进入对数生长期,但是都在OD<sub>600</sub>约为0.35时进入对数生长期。为了考察*E. coli*在诱导温度时的生长状态,可以按1:40的稀释比扩大培养(30℃)至OD<sub>600</sub>约为0.35时升温至42℃培养。每隔一定时间测OD<sub>600</sub>值,作图(Fig. 1b)。在42℃条件下,OD<sub>600</sub>约为1.35时大肠杆菌对数生长期结束,进入静止期。

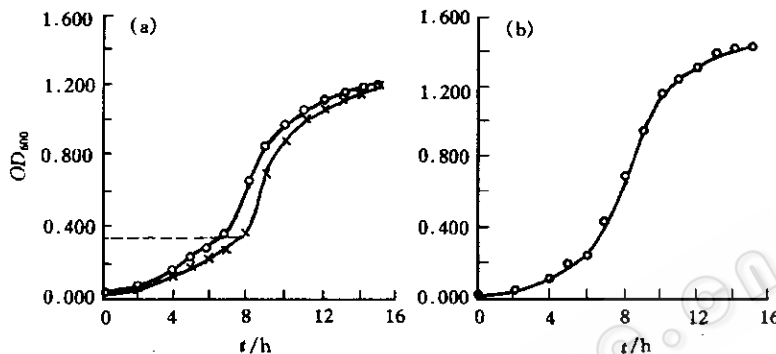


图1 大肠杆菌的生长曲线

The culturing temperature: a. 30℃ b. OD<sub>600</sub> ≤ 0.35, 30℃ OD<sub>600</sub> > 0.35, 42℃

× Cell density of batch cultivation at 30℃; o Cell density of batch cultivation at 42℃

*E. coli*的良好生长状态对rIFN- $\gamma$ 的表达是有利的。在细菌的对数生长期内,*E. coli*生长活跃,生长状态稳定,对表达有利。如前所述,*E. coli*在不同培养时间处于对数生长期,因此,在一定培养时间诱导表达是导致表达rIFN- $\gamma$ 不稳定的因素之一。可以采用OD<sub>600</sub>≈0.35时升温诱导表达,OD<sub>600</sub>≈1.35时收集菌体。

## 2.2 rIFN- $\gamma$ 的分离纯化与复性

用7.0 mol/L盐酸胍提取的含有rIFN- $\gamma$ 的粗提液直接输入到半制备疏水色谱柱,分离的色谱图见Fig. 2,收集过柱后的干扰素峰,进行SDS-PAGE电泳纯度的测定(Fig. 3)。其它结果指标见表1。

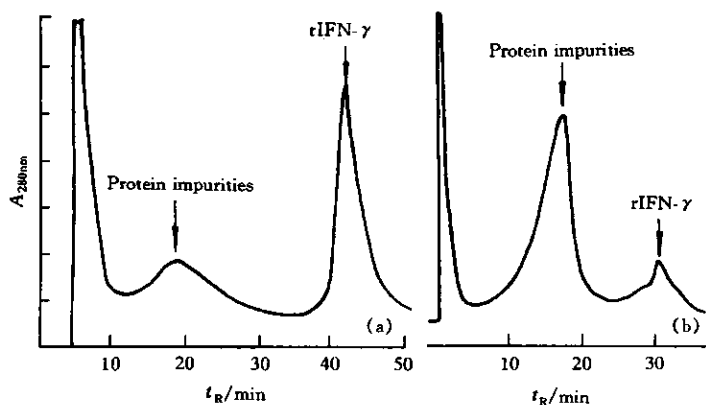
表1 HPHIC对在7.0 mol/L盐酸胍中rIFN- $\gamma$ 的分离、纯化与复性结果

Total protein /( $\mu$ g/mL)	Purity /%	Bioactivity /(IU/mL)	Specific bioactivity /(IU/mg)	Recovery of bioactivity /%
164	>86	4.1 × 10 <sup>5</sup>	2.5 × 10 <sup>6</sup>	≥208

一般分离rIFN- $\gamma$ 的方法都需要经过复性步骤,采用稀释法复性虽然简单,但是液量的增加使蛋白浓度降低,给后面的分离纯化带来操作上的麻烦。采用透析、超滤或电渗析除去变性剂,费时且复性效果不佳。将原样直接输入到疏水色谱柱,不仅避免了上述复性操作的缺点,而且避免了使用亲和柱而样品处理样小的弊端,起到了复性、分离、纯化作用<sup>[9]</sup>。

## 2.3 rIFN- $\gamma$ 提取液的质量

从原样的SDS-PAGE电泳(Fig. 4),疏水色谱分离效果(Fig. 2),以及表2所列出的几个方面同以时间为参数的发酵结果进行比较,各项指标均优于改进前的发酵结果。

图2 rIFN- $\gamma$  7.0 mol/L 盐酸胍提取液的 HPHIC 分离

a. 改进后; b. 改进前

The conditions were different on the crude extracted solutions of rIFN- $\gamma$  and the non-linear gradient elution time from 100% A to 100% B

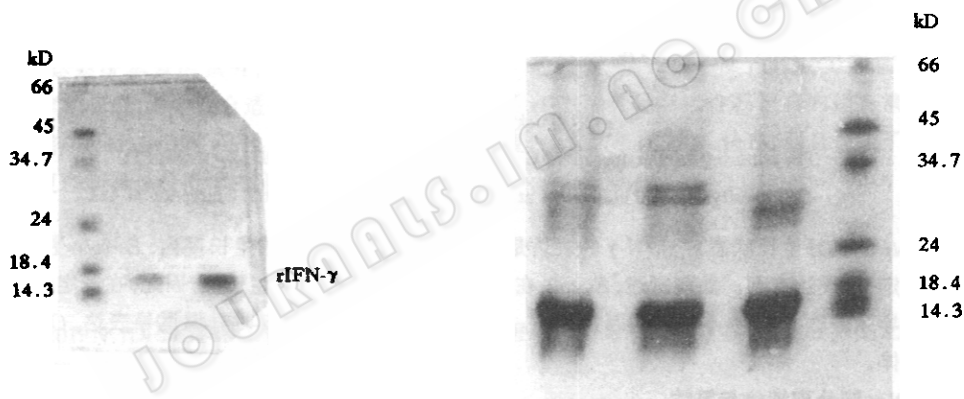


图3 HPHIC 纯化后的 rIFN- $\gamma$   
SDS-PAGE 电泳图

图4 7.0 mol/L 盐酸胍提取液中  
rIFN- $\gamma$  含量的 SDS-PAGE 电泳图

表2 rIFN- $\gamma$  提取液与改进前的比较

	Total protein (mg/mL)	Bioactivity ( $\times 10^5$ IU/mL)	Specific bioactivity ( $\times 10^4$ IU/mg)	The percentage of rIFN- $\gamma$ /%
Before improvement	26.7	5.1	1.91	20~30
After improvement	15.9	16	10.0	60~80

### 3 讨 论

rIFN- $\gamma$  基因表达系统对 rIFN- $\gamma$  的表达有影响, rIFN- $\gamma$  的表达量与 *E. coli* 的生长状态也有关系, *E. coli* 良好的生长状态对 rIFN- $\gamma$  的表达有利, 在 *E. coli* 的对数生长期, *E. coli* 生长活跃, 生长状态最佳。因此, 在对数生长期诱导表达可以提高 rIFN- $\gamma$  的产量与质量, 除此之外, 仍有下列一些影响 rIFN- $\gamma$  表达量的因素值得探讨。

非均一性表达:合成的人 $\gamma$ -干扰素基因在*E. coli*中的稳定高效表达是相对的,不能得到稳定高效表达是绝对的。这是基因工程中普遍存在的问题,即基因工程产物不能得到均一性表达<sup>[10]</sup>。

寡聚体的存在:通常是因为干扰素分子间次级键的作用,或因干扰素分子疏水缔合作用形成了寡聚体<sup>[11]</sup>,而寡聚体通常是没有生物活性或活性很低,提取液中加入适量的SDS活性提高,就是因为SDS可以促进缔合的寡聚体解聚。

内部降解:它使外源基因产物rIFN- $\gamma$ 不完整,因为内部降解是随机的,所以引起活性不稳定,*E. coli*表达的rIFN- $\gamma$ 除正常的143个氨基酸残基外,其C端常有氨基酸残基缺失<sup>[12]</sup>。

### 参 考 文 献

- [1] 王晓鸣,张智清,侯云德等.中国科学(B),1991,21(3):289.
- [2] 王子轩,刘新垣等.中国科学(B),1994,24(10):1076.
- [3] Z. Zhan, K. T. Tong et al. *J. Chromatogr*, 1992, 604(1):143.
- [4] 王洪海,李育阳等.中国科学(B),1994,24(2):1270.
- [5] 张耀东,洪深求,张丽华等.陕西师范大学学报,1998,26(2):65.
- [6] O. H. Lowry et al. *J. Biol. Chem.*, 1951, 193:265.
- [7] U. K. Laemmli. *Nature*, 1970, 227:680.
- [8] S. Rubinstein et al. *J. virol.*, 1981, 37:755.
- [9] 耿信笃,冯文科,常建华等.高技术通讯,1991,1(7):1.
- [10] R. A. Hitzeman, D. V. Goddel et al. *Science*, 1983, 219:620.
- [11] Y. K. Yip, B. S. Barroweough et al. *Science*, 1982, 215:411.
- [12] E. Rinderknecht, B. H. O'Connor et al. *J. Biol. Chem.*, 1984, 259:6790.

## Cultivation of Human Interferon- $\gamma$ Gene Engineering *Escherichia coli* and Purification, Renaturation of its Products<sup>\*</sup>

Zhang Yaodong<sup>1</sup> Zhang Lihua<sup>2</sup> Geng Xindu<sup>2</sup>

<sup>1</sup>(Department of Chemistry, ShanXi Normal University, Xi'an 710062)

<sup>2</sup>(Institute of Modern Separation Science, Northwestern University, Xi'an 710069)

**Abstract** The expression of Recombinant Human Interferon- $\gamma$  (rIFN- $\gamma$ ) was induced during the logarithmic growth phase of *E. coli*. When  $OD_{600}$  is about 0.35, the temperature should be raised for the expression. When  $OD_{600}$  is about 1.35 the cells must be harvested. Then the cells were frozen, disrupted by ultrasonication, the inclusion bodies were separated by centrifugation, and the rIFN- $\gamma$  was extracted with 7.0mol/L guanidine hydrochloride solution, successively. In this way, the amount of the total protein obtained is 79.5~127.2 mg/L, the specific bioactivity of rIFN- $\gamma$  is  $5.6\sim 8.0 \times 10^5$  IU/mg, and the percentage of rIFN- $\gamma$  is 60%~80% in the extracted solution, respectively. The crude extracted rIFN- $\gamma$  in 7.0 mol/L Gu·HCl solution was directly injected to the hydrophobic interaction chromatography column to do renaturation and separation of originally denatured rIFN- $\gamma$  simultaneously. Only one step, the purity of the purified rIFN- $\gamma$  is more than 86%, its specific bioactivity is  $2.5 \times 10^6$  IU/mg, and its bioactivity recovery is over 208%.

**Key words** Interferon- $\gamma$ , *E. coli*, high level expression, purification, renaturation

\* Supported by Project of Chinese National Programs for High Technology Research and Development (No. 863-102-13-05).